

Uniwersytet Warszawski
Wydział Fizyki

Agnieszka Porowska

Nr albumu: 323371

**Analiza zmian w sygnale LFP
związanych z treningiem
wzrokowym i stymulacją
elektryczną w strukturach
układu wzrokowego szczura.**

**Praca magisterska
na kierunku ZASTOSOWANIA FIZYKI W BIOLOGII I MEDYCYNIE
specjalność Neuroinformatyka**

Praca wykonana pod kierunkiem

dra hab. Jarosława Łęgierewicza

Zakład Fizyki

Instytut Fizyki Doświadczalnej

Wydział Fizyki, Uniwersytet Warszawski

oraz

prof. dr hab. Wioletty Waleszczyk

Pracownia Neurobiologii Widzenia

Instytut Biologii Doświadczalnej im. M. Nenckiego PAN

Czerwiec 2015

Oświadczenie kierującego pracą

Potwierdzam, że niniejsza praca została przygotowana pod moim kierunkiem i kwalifikuje się do przedstawienia jej w postępowaniu o nadanie tytułu zawodowego.

Data

Podpis kierującego pracą

Oświadczenie autora (autorów) pracy

Świadom odpowiedzialności prawnej oświadczam, że niniejsza praca dyplomowa została napisana przeze mnie samodzielnie i nie zawiera treści uzyskanych w sposób niezgodny z obowiązującymi przepisami.

Oświadczam również, że przedstawiona praca nie była wcześniej przedmiotem procedur związanych z uzyskaniem tytułu zawodowego w wyższej uczelni.

Oświadczam ponadto, że niniejsza wersja pracy jest identyczna z załączoną wersją elektroniczną.

Data

Podpis autora (autorów) pracy

Streszczenie

W pracy wykorzystano dane pochodzące z eksperymentów na szczurach w dwóch paradigmatkach. Dla obu warunków doświadczalnych zarejestrowano sygnał kontrolny, czyli odpowiedź układu wzrokowego na bodziec świetlny. Następnie jedną grupę szczurów od razu poddano treningowi wzrokowemu, i zbierano sygnał po jednej, dwóch i trzech godzinach od początku treningu. W drugiej grupie również rejestrowano efekt treningu wzrokowego w tych samych odstępach czasowych, jednak zanim przystąpiono do treningu, przez 1 min stymulowano oko sygnałem elektrycznym prostokątnym o częstotliwości 20 Hz i amplitudzie (peak-to-peak) 200 μA . Elektrody do rejestracji odpowiedzi na bodziec zostały umieszczone bezpośrednio w móżdgu szczura, w strukturach układu wzrokowego. W pracy przeanalizowano sygnały z wybranych zestawów elektrod. Badano uśrednione potencjały wywołane i połączenia funkcjonalne za pomocą nieznormalizowanej funkcji przejścia (NDTF). U danych z obu eksperymentów zaobserwowano wzrost amplitudy potencjału wraz z długością treningu wzrokowego. Dla danych z eksperymentu poprzedzonego stymulacją elektryczną zauważono wzrost wartości funkcji NDTF zaraz po wystąpieniu bodźca (0-0,1 s) i w czasie 0,2 s.

Słowa kluczowe

analiza sygnałów, potencjał wywołany, kora wzrokowa, układ wzrokowy, Direct Transfer Function, nDTF

Dziedzina pracy (kody wg programu Socrates-Erasmus)

13.2 Fizyka

Tytuł pracy w języku angielskim

Analysis of changes in LFP signal related to visual training and electric stimulation in rat visual system structures.

Spis treści

Cel pracy	5
1. Wprowadzenie	7
1.1. Budowa układu wzrokowego	7
1.2. Lokalne potencjały polowe	9
1.3. Warstwowa budowa struktur	10
1.3.1. Kora wzrokowa	10
1.3.2. Wzrostek czworaczy górny	11
2. Pochodzenie danych doświadczalnych	13
2.1. Dane doświadczalne	13
2.2. Procedury eksperymentów	13
2.2.1. Eksperyment A	14
2.2.2. Eksperyment B	14
2.3. Przygotowanie danych do analizy	15
3. Metodologia	17
3.1. Uśrednianie potencjałów wywołanych	17
3.1.1. Opis metody	17
3.1.2. Zastosowanie metody	18
3.1.3. Statystyka	18
3.2. Wielokanałowy model autoregresyjny	20
3.3. Połączenia funkcjonalne	20
3.3.1. Przyczynowość w sensie Grangera	20
3.3.2. Kierunkowa funkcja przejścia – opis metody	21
3.3.3. Zastosowanie metody	21
3.3.4. Statystyka	21
4. Wyniki	23
4.1. Uśrednianie potencjałów	23
4.1.1. Porównanie uśrednionych potencjałów z CxC	24
4.1.2. Porównanie uśrednionych potencjałów z LGN	28
4.2. Połączenia funkcjonalne	29
4.2.1. Połączenia z CxC do LGN	29
4.2.2. Połączenia z CxC do SC	31
4.2.3. Połączenia z SC do CxC	33
5. Dyskusja	35

Cel pracy

Celem pracy było porównanie odpowiedzi na bodziec wzrokowy poprzedzony treningiem wzrokowym z odpowiedzią na bodziec poprzedzony stymulacją elektryczną i treningiem wzrokowym.

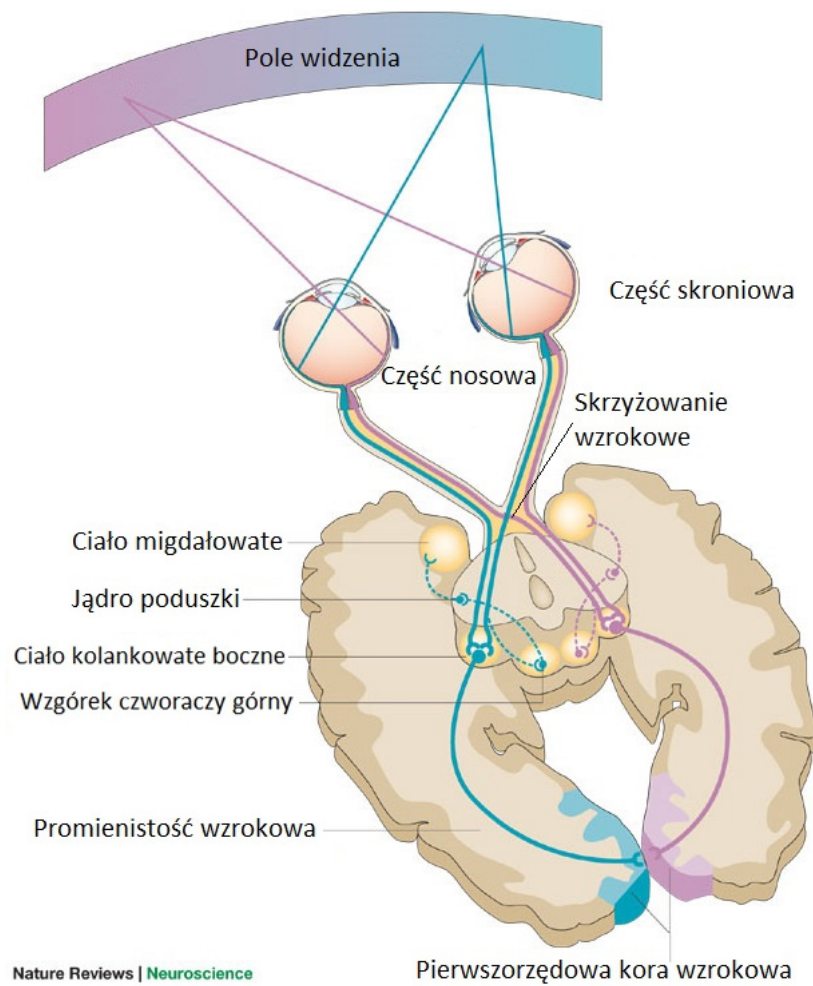
Rozdział 1

Wprowadzenie

Już pod koniec lat 40 ubiegłego wieku zauważono, że w wyniku prezentacji bodźca w zapisie EEG pojawia się słabo widoczna odpowiedź na ten bodziec. Pionierem badań, w tym zakresie był G.D. Dawson który zarejestrował odpowiedzi na bodziec na kilku kliszach fotograficznych i po nałożeniu ich na siebie dostrzegł wzmocnienie odpowiedzi. Uśredniony sygnał z kilku realizacji zsynchronizowanych względem bodźca nazywa się potencjałem wywołanym EP (z *ang.* *evoked potentials*) (Schomer and Lopes da Silva, 2010). Amplituda potencjału jest różna dla każdego organizmu a także badanej struktury. Jednak wielokrotne powtarzanie serii jednakowych bodźców, zwane po prostu treningiem wzrokowym, powoduje jej wzmocnienie (Hager and Dringenberg, 2010). To wzmocnienie jest zauważalne jako zwiększenie amplitudy odpowiedzi na bodziec. Jednocześnie obserwuje się polepszenie funkcji wzrokowych za pomocą... nieinwazyjnego stymulowania... o niskiej amplitudzie (Schulz et al., 2013).

1.1. Budowa układu wzrokowego

Na Rysunku 1.1 przedstawiono schemat organizacji układu wzrokowego. Informacja wzrokowa z siatkówki dociera do kory wzrokowej dwiema równoległymi drogami. Obie zaczynają się na siatkówce, gdzie bodźce świetne odbierane przez fotoreceptory, są przetwarzane przez szereg komórek nerwowych i w postaci zmian potencjału są przekazywane do nerwu wzrokowego. Tu drogi się rozdzielają. Pierwsza z nich, zwana kolankowatą drogą wzrokową, prowadzi przez członek grzbietowy jądra kolankowatego bocznego (*ang.* *dorsal lateral geniculate nucleus*, dLGN) do pierwszorzędowej kory wzrokowej (V1), a stamtąd do pól korowych wyższych rzędów. Druga droga, zwana pozakolankowatą drogą wzrokową, wiedzie przez wzłonek czworaczy gąbny przez kompleks jądra tylnobocznego poduszki i dociera, do pierwszorzędowej kory wzrokowej i dalej do pól korowych wyższych rzędów. (Waleszczyk et al., 2004).



Rysunek 1.1: Schemat układu wzrokowego (Hannula et al., 2005).

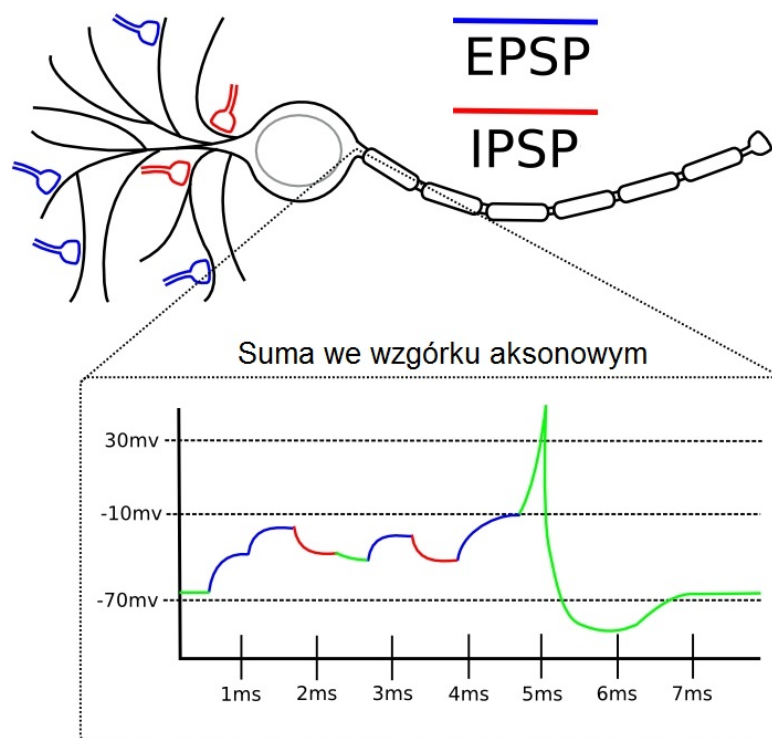
1.2. Lokalne potencjały polowe

Sygnał rejestrowany bezpośrednio z kory i warstw podkorowych nazywany jest elektrokorykogramem. Jest to metoda inwazyjna i tylko w wyjątkowych okolicznościach przeprowadza się ją na ludziach. Elektrody umieszczone są tuż obok neuronów – zbiera się w ten sposób zapis aktywności mózgu z niewielkiego obszaru. Zapis ten zwany jest lokalnymi potencjałami polowymi (ang. *Local Field Potentials*). W odróżnieniu od sygnału z powierzchni głowy, w LFP rejestruje się nie tylko potencjał postsynaptyczny (Rysunek 1.2), ale także czynnościowy (Rysunek 1.3).

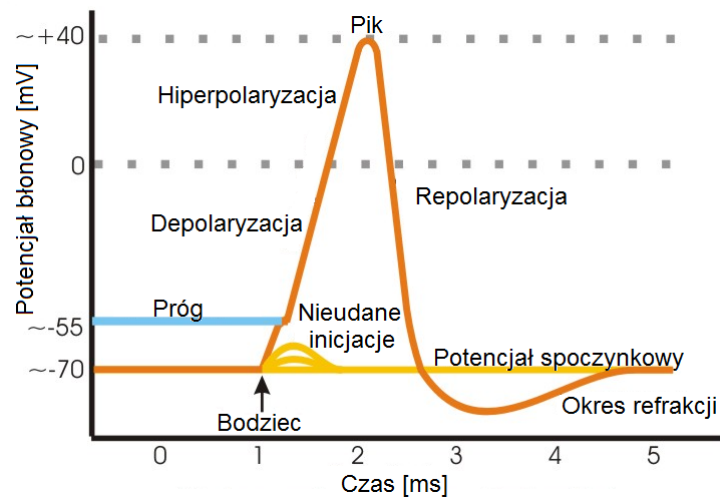
Potencjały postsynaptyczne są to potencjały docierające do dendrytu komórki nerwowej. Występują dwa rodzaje:

- potencjały pobudzające EPSP (z ang. *Excitatory Post-Synaptic Potentials*)
- potencjały hamujące IPSP (z ang. *Inhibitory Post-Synaptic Potentials*)

Pierwsze z nich zwiększają szansę na wywołanie potencjału czynnościowego, a drugie ją zmniejszają. Do neuronu dociera równocześnie wiele potencjałów. W chwili, gdy ich suma przekroczy pewną wartość graniczną, neuron zostaje pobudzony. Generuje potencjał czynnościowy, który propaguje się wzdłuż aksonu.



Rysunek 1.2: Schemat potencjałów postsynaptycznych (Versace et al., 2008).



Rysunek 1.3: Schemat potencjału czynnościowego.

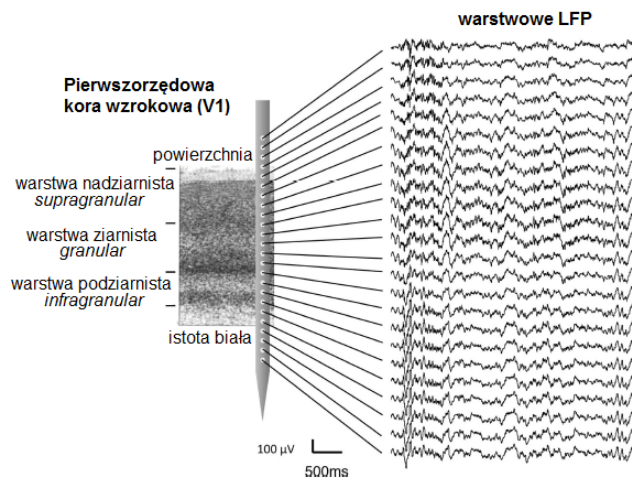
1.3. Warstwowa budowa struktur

Zarówno kora wzrokowa jak i wzgłerek czworaczy główny charakteryzują... siTM warstw... budow... Poszczególne warstwy różni... siTM funkcj... oraz po... czeniami do innych struktur. Kluczem do ich rozpoznania jest przebieg... cie widoczne na wykresach uśrednionych potencjałów wywołanych.

1.3.1. Kora wzrokowa

W pierwszorzędną korze wzrokowej (V1) można wyróżnić 6 warstw (Maier et al., 2010):

- 3 warstwy nadziarniste
- 1 warstwa ziarnista...
- 2 warstwy podziarniste



Rysunek 1.4: Struktura warstwowa pierwszorzędowej kory wzrokowej (Maier et al., 2010).

1.3.2. Wzgłówek czworaczy główny

Na Rysunku 1.5 przedstawiono schematyczną strukturę wzgłodka czworaczego głównego u fretki.

Skrótami oznaczono:

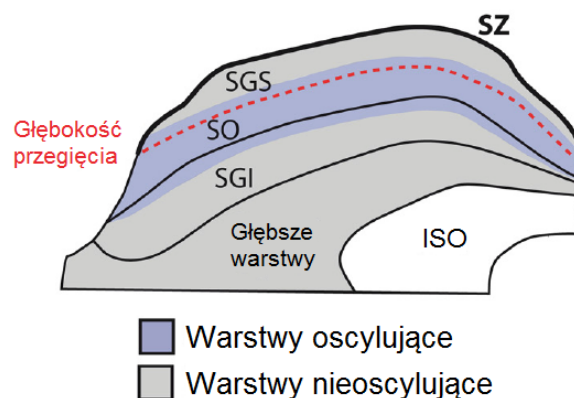
SZ - *stratum zonale*

SGS - *stratum griseum superficiale*

SO - *stratum opticum*

SGI - *stratum griseum intermediale*

ISO - istota szara okołowodociągowa



Rysunek 1.5: Struktura warstwowa wzgłodka czworaczego głównego (Stitt et al., 2013).

Rozdział 2

Pochodzenie danych doświadczalnych

2.1. Dane doświadczałne

Dane wykorzystane w niniejszej pracy pochodzą z eksperymentów przeprowadzonych w Pracowni Neurobiologii Widzenia Instytutu Biologii Doświadczałnej PAN im. Marcelego Nenckiego w Warszawie. Zostały zebrane przez zespół doświadczałny składający się z dra Andrzeja Foika i mgr inż. Katarzyny Łeber w okresie od września do grudnia 2014 r.

W każdym doświadczeniu wykorzystano 2 szczury z gatunku Wistar, po jednym z każdego eksperymentu. Szczury zostały znieczulone dootrzewnowym zastrzykiem z uretanu (2 ml/kg). W ciągu każdego ze zwierząt umieszczono 4 elektrody:

- 1 po stronie ipsilateralnej względem bodźca – w korze wzrokowej (CxI)
- 3 po stronie kontralateralnej względem bodźca:
 - w korze wzrokowej (CxC)
 - we wzgłasku czworaczym głównym (SC)
 - w jądrze kolankowatym bocznym (LGN)

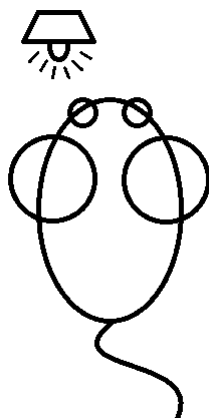
Na każdej elektrodzie znajdowało się od 7 do 16 kontaktów. Oba zestawy danych zawierały różne liczby kanałów. W eksperymencie A do rejestracji aktywności kory wzrokowej wykorzystano 16 kontaktów dla każdej półkuli, a w eksperymencie B – 8 kontaktów (kontakty były rozmieszczone 2-krotnie rzadziej.) W obu eksperymentach informację ze wzgłaska czworaczego zbierano za pomocą 7 kontaktów, a z jądra kolankowatego bocznego – 8 kontaktów.

2.2. Procedury eksperymentów

Zastosowano dwie różne procedury eksperymentalne opisane poniżej.

2.2.1. Eksperyment A

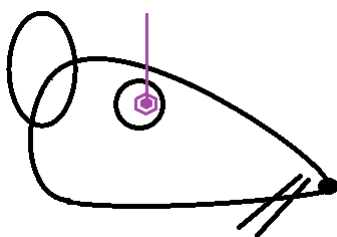
Co 15 minut prezentowano serięTM bodźców w postaci błyskawic... cego światła, którego źródło umieszczono blisko jednego oka (Rysunek 2.1). Jako próbęTM kontrolną... przyjętoTM to pierwszą... rejestracjęTM, zakładając... c, że jest to odpowiedź w stanie nieprzyzwyczajonym do stymulacji. Błyski trwały 2 ms i pojawiały sięTM z częstotliwością... (przerwy wynosiły od 2 do 2,13 s) 300 razy. Sygnał zbierano co godzinęTM.



Rysunek 2.1: Schemat eksperymentu A.

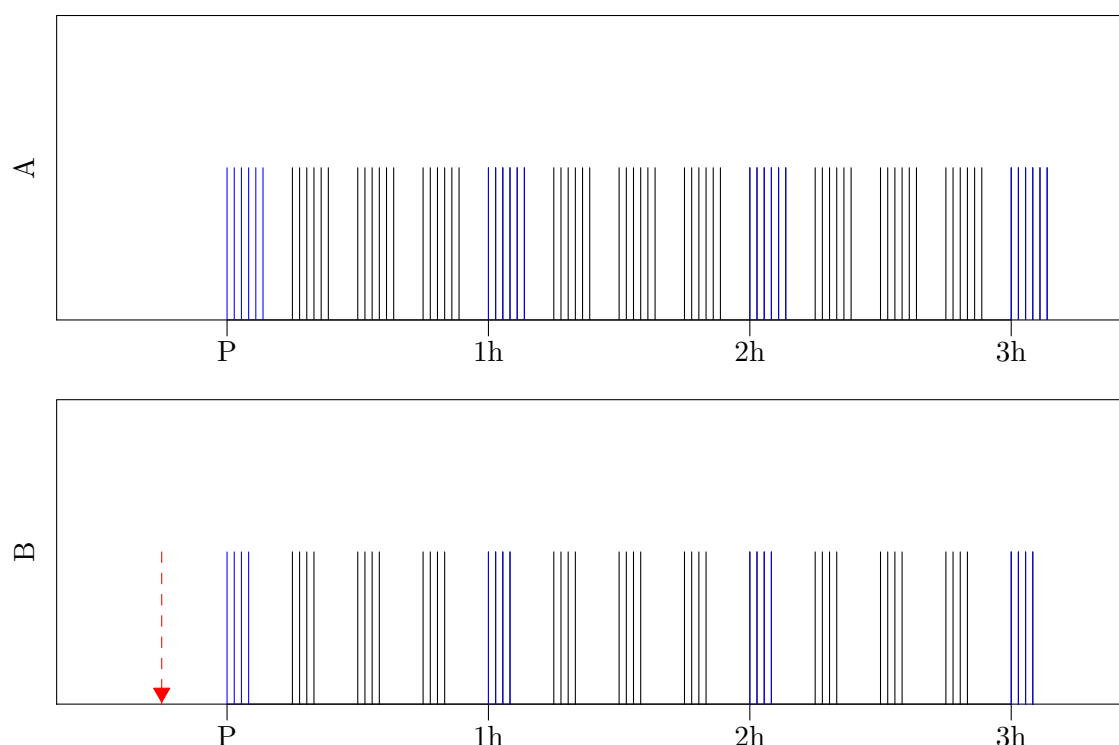
2.2.2. Eksperyment B

Czterokrotnie przez kilka sekund stymulowano lewe oko prądem elektrycznym za pomocą... niewielkiej elektrody umieszczonej na gałce ocznej (Rysunek 2.2). Amplituda prądu... wynosiła 2 mA, a częstotliwość 100 Hz. Następnie stymulowano to samo oko bodźcem światłem w seriach po 200 błyskawic (takich jak w eksperymencie A) i co godzinę rejestrowano odpowiedź.



Rysunek 2.2: Schemat stymulacji elektrycznej przeprowadzanej podczas eksperymentu B.

Na Rysunku 2.3 przedstawiono szkic przebiegów czasowych obu warunków doświadczalnych. Wykres A odnosi sięTM do eksperymentu A, a wykres B – do eksperymentu B. Pionowe kreski oznaczają... stymulacjęTM bodźcem światłem (w eksperymencie A powtórzenie,, było 300 powtórzeń,, a w eksperymencie B – 200.) Czerwona strzałka oznacza moment wystąpienia stymulacji elektrycznej.



Rysunek 2.3: Przebiegi czasowe obu warunków doświadczalnych.

2.3. Przygotowanie danych do analizy

Sygnał został zarejestrowany z częstotliwością... 20 kHz, odfiltrowany pasmowo-przepustowo w przedziale 0,3 - 10 kHz oraz wzmacniony 500-krotnie przy użyciu wzmacniacza prądu zmiennego firmy A-M SystemsTM (<https://www.a-msystems.com/>).

Uznano, że tak wysoka częstotliwość próbkowania nie jest potrzebna do dalszej analizy, dlatego zdecydowano się zredukować ją... do częstotliwości 250 Hz. W tym celu trzykrotnie na przemian filtrowano sygnał dolnoprzepustowym filtrem Butterwortha (częstotliwości odcięcia: 2,5 kHz – II rzędu, 500 Hz i 100 Hz – I rzędu) i decymowano (ang. *downsampling*). Kolejnym krokiem było odfiltrowanie artefaktów pochodzących od napięcia sieciowego (pasmowo-zaporowy filtr Butterwortha I rzędu w przedziale 49,5-50,5 Hz) i usunięcie niskich częstotliwości (górnoprzepustowy filtr Butterwortha I rzędu o częstotliwości odcięcia 1 Hz). Następnie każdą próbkę znormalizowano poprzez odjęcie średniej z całego zapisu dla danego kanału i podzielenie przez odchylenie standardowe.

Filtry Butterwortha zostały wybrane ze względu na to, że tylko w niewielkim stopniu zniekształcają... sygnał. Odbywa się to jednak kosztem niższej skuteczności filtracji. Filtrowano za pomocą funkcji `filtfilt`, ponieważ nie zmienia fazy sygnału wejściowego.

Tak przygotowane dane pocięto na odcinki od -0,2 s do 1 s (gdzie 0 byłoby momentem wystąpienia bodźca) i uśredniono po realizacjach.

Do dalszej analizy wybrano po 4 kanały z kory wzrokowej (zarówno kontra- i ipsilateralnej

wzgl. Δ^{TM} dem bod. \dot{L}_{sc} a) i wzgl. \dot{L}_{rka} czworaczego oraz jeden kanał z ciała kolankowatego bocznego. Zmniejszenie liczby kanałów byłoby niezbyt Δ^{TM} ne z dwóch powodów:

- czÄ™łŁŁ kontaktów na elektrodach nie dziaŁŁa poprawnie – rejestrowaŁ siÄ™ szum, a nie wŁaœciwy sygnaŁ
- kanaŁy warstw leŹących jedna nad drugĄ... byŁy bardzo podobne

Wyboru dokonano na podstawie analizy uśrednionych potencjałów, patrz Sekcja 3.1.2.

Rozdział 3

Metodologia

3.1. Uśrednianie potencjałów wywołanych

3.1.1. Opis metody

VEP (z ang. *Visual Evoked Potential*) jest szczególnym przypadkiem potencjałów wywołanych stanu ustalonego, gdzie stymulacja odbywa sięTM za pomocą... fali świetlnej. Stymulacja... jest seria krótkotrwałych błysków światła powtarzających sięTM w sposób ściśle periodyczny. W założeniu spontaniczna aktywność[†] ECoG jest procesem stochastycznym (niezależnym, stacjonarnym szumem o średniej zero), a odpowiedź mózgu na każdy z kolejnych bodźców jest niezmienna. Wtedy sygnał mierzony w i -tej realizacji możemy wyrazić[†] jako:

$$x_i(t) = s(t) + n_i(t), \quad (3.1)$$

gdzie $s(t)$ jest rzeczywistym sygnałem, a $n_i(t)$ – składowym... szumu. Po uśrednieniu N realizacji otrzymuje sięTM:

$$\bar{x}(t) = \frac{1}{N} \sum_{i=1}^N x_i(t) = s(t) + \frac{1}{N} \sum_{i=1}^N n_i(t). \quad (3.2)$$

Dla szumu o średniej zero, wartość[†] oczekiwana wynosi:

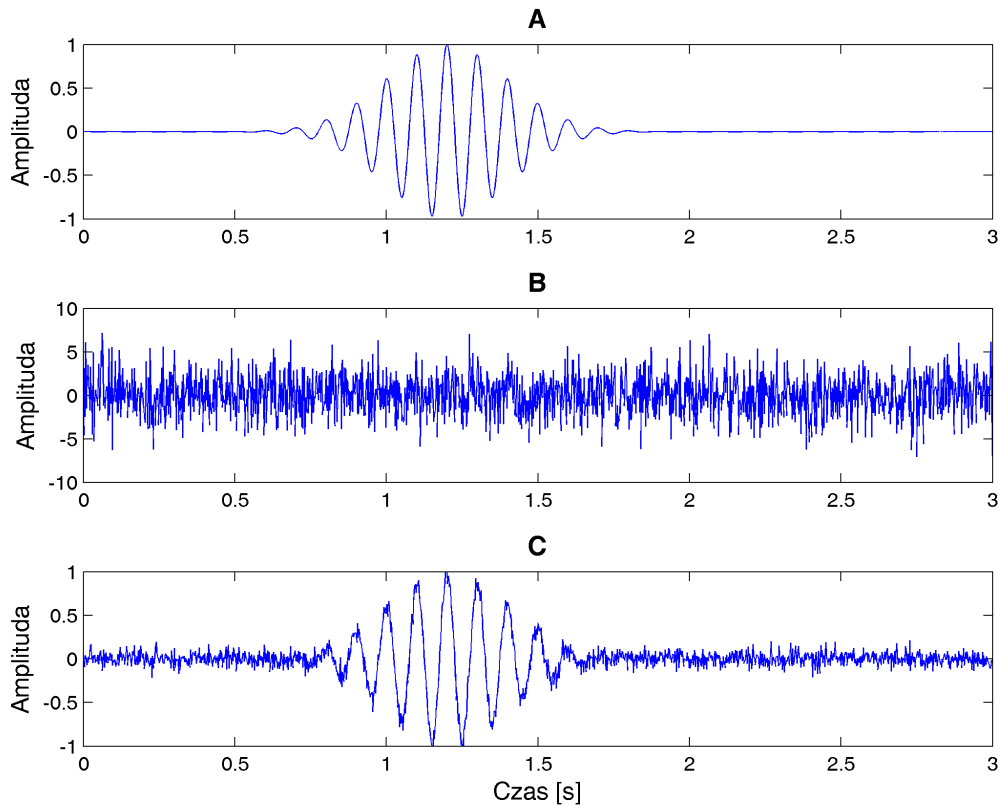
$$E \left[\frac{1}{N} \sum_{i=1}^N n_i(t) \right] = 0, \quad (3.3)$$

z czego wynika, że dla uśrednionego sygnału $E[\bar{x}(t)] = s(t)$.

Na Rysunku 3.1 przedstawiono kolejno:

- funkcjiTM Gabora przed dodaniem szumu
- funkcjiTM Gabora z nałożonym szumem
- sygnał uśredniony.

Widząc, że na ostatnim wykresie udało sięTM odzyskać pierwotny kształt.



Rysunek 3.1: Na wykresie A narysowano funkcjęTM Gabora o częstotliwości 10 Hz, odchyleniu standardowym $\sigma_g = 0.2$ i amplitudzie $A = 1$. Wykres B przedstawia tąTM samą... funkcjęTM co wykres A po dodaniu 30 składowych szumowych z rozkładu normalnego o średniej $m_{sz} = 0$ i odchyleniu standardowym $\sigma_{sz} = 0.4$. Wykres C to 1000 uśrednionych sygnałów z wykresu B.

3.1.2. Zastosowanie metody

Dane z każdego zestawu uśredniono po realizacjach i oddzielenie analizowano kanały odpowiadające każdej strukturze. W pierwszej kolejności odrzucono „puste” kanały, których średnia na całym badanym wycinku oscylowała wokół zera. Następnie szukano „przebiegu”, czyli odwrócenia potencjału w okolicy odpowiedzi na bodziec (czas 0–0,1 s). Jeśli to było możliwe, wybierano kanały bez artefaktu w momencie wystąpienia bodźca.

3.1.3. Statystyka

Spośród wszystkich realizacji 6 razy losowano bez powtórzeń, 50 realizacji i uśredniano. Następnie liczone maksymalne różnice między najwyższym i najniższym punktem na przedziale 0 – 0,1 s. Po sprawdzeniu testem Shapiro-Wilka, że tak policzone średnie amplitudy należą do rozkładu normalnego, przeprowadzano test T studenta, by

siTM przekona[‡], czy wzrost amplitudy pomiTMdzy kontrolTM... a kaTMŁdTM... kolejnTM... godzinTM... rejestracji jest istotny statystycznie.

3.2. Wielokanałowy model autoregresyjny

Sygnały pochodzące z rejestracji aktywności mózgu mogą być opisywane przez model AR (ang. *autoregressive model*). Założeniem tego modelu jest to, że na podstawie p pierwszych próbek można przewidzieć wartość $p + 1$ próbek:

$$x(t) = \sum_{i=1}^p a_i x(t-i) + e(t), \quad (3.4)$$

gdzie a_i jest i -tym współczynnikiem, a $e(t)$ – składowe szumy. Jeżeli podczas eksperymentu rejestruje się dane równocześnie z kilku źródeł, można przypuszczać, że są ze sobą związane. Wtedy sygnał z każdego źródła w i -tej chwili czasu traktuje się jak złożenie liniowe p poprzednich próbek wszystkich źródeł:

$$\sum_{i=1}^p A(t)X(t-i) = E(t). \quad (3.5)$$

Po przetransformowaniu powyższego równania do dziedziny czestotliwości za pomocą transformacji Z , otrzymuje się:

$$A(z)X(z) = E(z), \quad (3.6)$$

gdzie $z = e^{2\pi i f \Delta t}$. Macierz wariancji szumów V można zapisać:

$$V = E(f) * E(f)^+, \quad (3.7)$$

Znak $+$ oznacza transpozycję macierzy połączonej ze sprzężeniem zespolonym jej elementów. Dla określenia rzędu modelu (p) stosuje się różnych rodzajów kryteriów. Jednym z nich jest kryterium Akaikego (Blinowska and Żygierewicz, 2012):

$$AIC(p) = \ln(\det(V)) + 2 \frac{p}{N}. \quad (3.8)$$

3.3. Połączenia funkcjonalne

Zależności między dostępnymi kanałami (dane z kilku źródeł zbierane równocześnie) można badać na wiele sposobów. Jednym z podstawowych miar podobieństwa między kanałami jest koherencja. Wadą tej funkcji jest to, że nie pozwala stwierdzić kierunku oddziaływania między danymi źródłami. Aby móc odpowiedzieć na pytanie, który kanał generuje informację, a który ją tylko odbiera, skorzystano z kierunkowej funkcji przejścia, bazującej na przyczynowości w sensie Grangera.

3.3.1. Przyczynowość w sensie Grangera

Definicja przyczynowości bazuje na przewidywalności szeregów czasowych. Przy założeniu, że wartość sygnału x da się przewidzieć na podstawie p poprzednich wartości otrzymuje się:

$$x(t) = \sum_{i=1}^p A_1(i)x(t-i) + E_1(t), \quad (3.9)$$

gdzie A_1 jest macierzą... współczynników, a E_1 – macierzą... wartości szumowych.

Przy takim zapisie dla... si... do tego, by wartości współczynników były jak naj-
wi...ksze. Tym samym możemy traktować macierz wartości szumowych jako miarę...
dopasowania – im czynnik szumowy jest mniejszy, tym dane są... lepiej opisywane przez
model.

Przy założeniu, że na wartość sygnału x ma również wpływ sygnał y , możemy
zapisać:

$$x(t) = \sum_{i=1}^p A_1(i)x(t-i) + \sum_{i=1}^p A_2(i)y(t-i) + E_2(t). \quad (3.10)$$

Jeśli $\text{var}(E_1) > \text{var}(E_2)$, to możemy powiedzieć, że w sensie przyczynowości Grangera
sygnał x jest zależny od sygnału y . W przypadku gdy obie wartości są... porównywalne
to znaczy, że dodatkowa informacja o wartościach sygnału y nie wniosła nic do opisu
wartości sygnału x , a więc sygnał x jest niezależny od sygnału y .

3.3.2. Kierunkowa funkcja przejścia – opis metody

Kierunkowa funkcja przejścia (z ang. *Direct Transfer Function*) opiera się o założenie,
że dane są... dobrze opisywane przez wielokanałowy model autoregresyjny (MVAR). De-
finiujemy si... przez macierz przejścia modelu H daną... wzorem: $H = A^{-1}$.

Kierunkowa funkcja przejścia w wersji nieznormalizowanej:

$$NDTF_{i \rightarrow j}^2(f) = |H_{ij}(f)|^2 \quad (3.11)$$

Znormalizowana kierunkowa funkcja przejścia:

$$DTF_{i \rightarrow j}^2(f) = \frac{|H_{ij}(f)|^2}{\sum_{m=1}^k |H_{im}(f)|^2} \quad (3.12)$$

3.3.3. Zastosowanie metody

Dla danych z obu eksperymentów wybrano model 4 rzędu na podstawie kryterium Aka-
iiego. Dla wybranych 13 kanałów policzono NDTF w czasie, gdzie rozmiar okna wynosił 25
próbkę, a przesunięciu – 5. Następnie wybrano trzy zakresy częstotliwości, w których
analizowano sygnał:

- [1-10] Hz
- [10-30] Hz
- [20-40] Hz

3.3.4. Statystyka

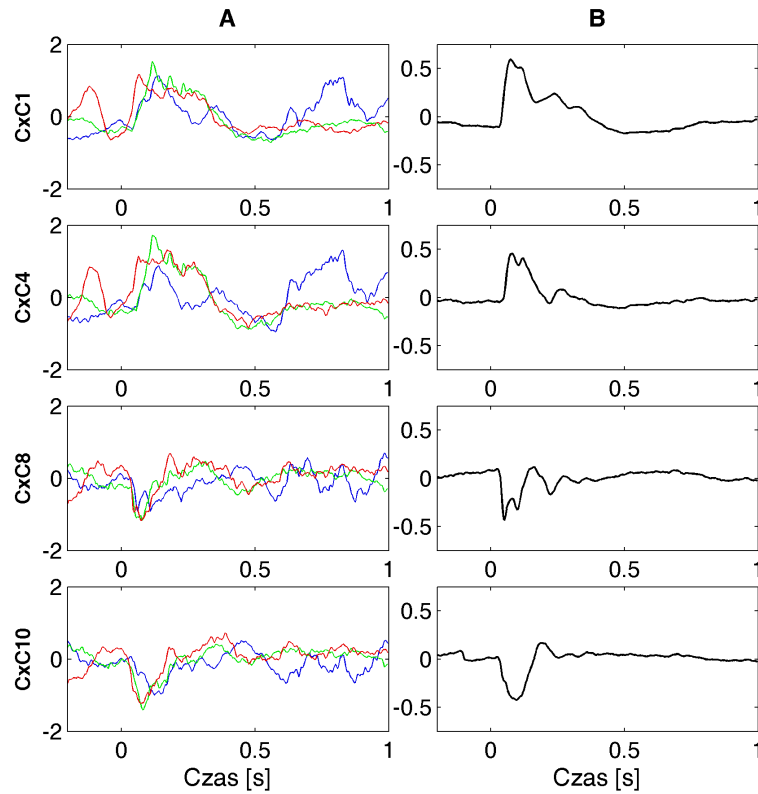
Istotność statystyczną... sprawdzano na podstawie bootstrapu: szacowania rozkładu przy
pomocy wielokrotnego (tu 200 razy) losowania ze zwracaniem z danej próby. Analizowany
przedział był najmniejszym możliwym przedziałem, w którym mieściły się wszystkie
próbkę z 95% przedziału ufności dla danego zakresu częstotliwości.

Rozdział 4

Wyniki

4.1. Uśrednianie potencjałów

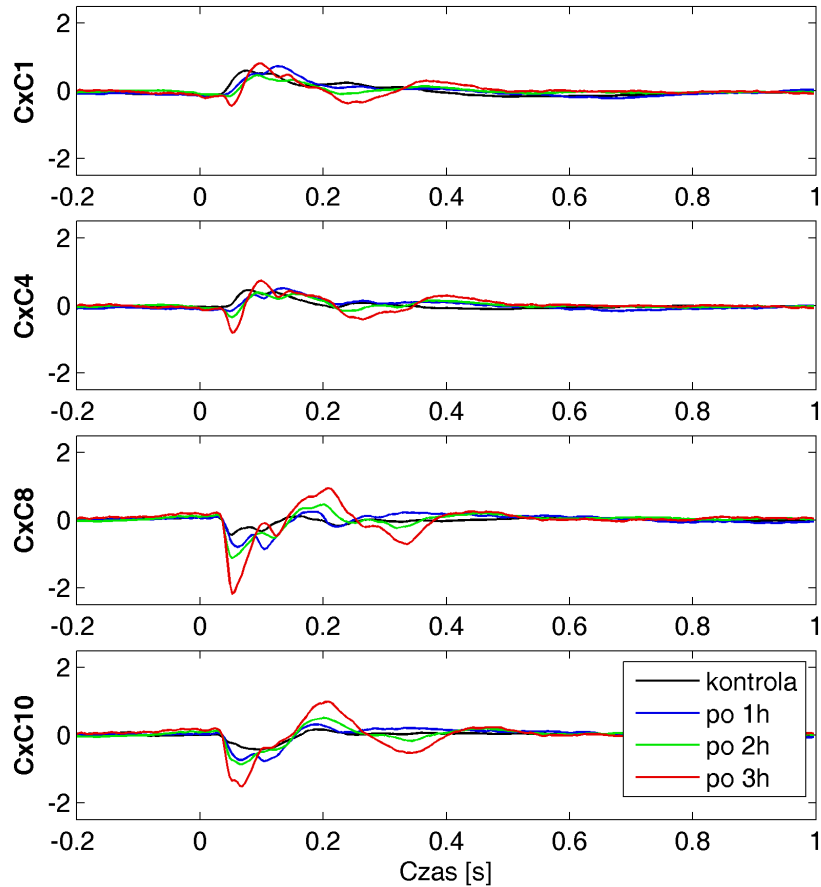
Na Rysunku 4.1 przedstawiono uśrednianie potencjałów. Przed uśrednieniem dane są... chaotyczne, dopiero po uśrednieniu uwidacznia się kształt odpowiedzi na bodziec. Pomiarzy kanałami CxC4 i CxC8 widoczne jest przebiegi.



Rysunek 4.1: Eksperymentu A przed treningiem wzrokowym (kontrola) – 4 wybrane kanały kontralateralnej kory wzrokowej (CxC). W kolumnie A przedstawiono 3 pojedyncze realizacje, a w kolumnie B – uśrednione potencjały wywołane po wszystkich realizacjach.

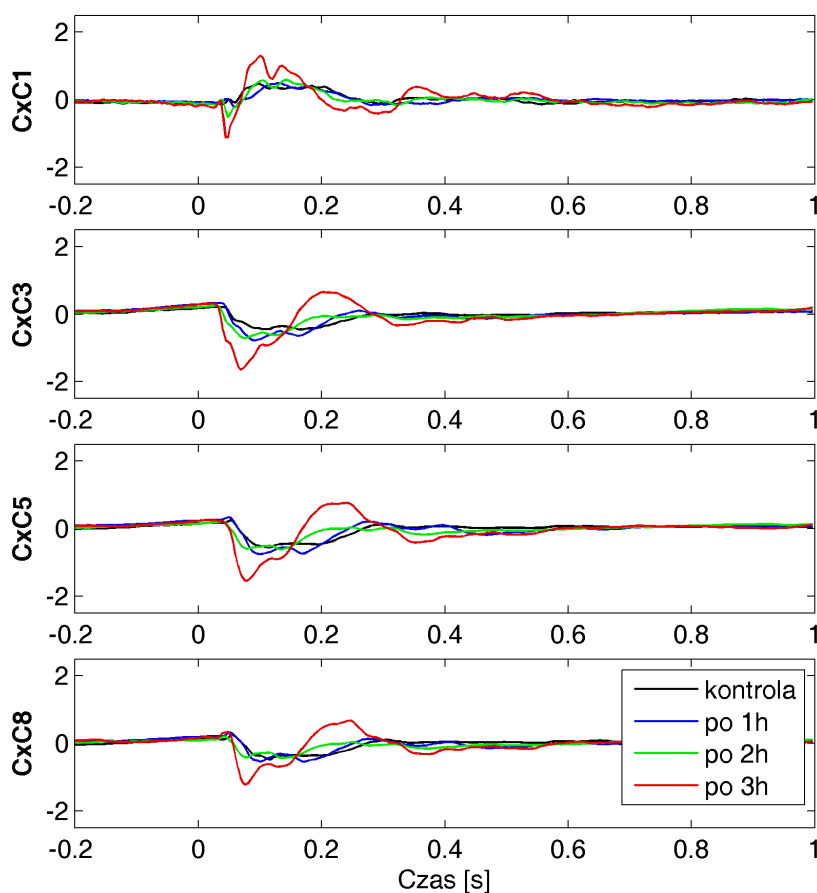
4.1.1. Porównanie uśrednionych potencjałów z CxC

Na Rysunkach 4.2 i 4.3 przedstawiono uśrednione po realizacjach potencjały wywołane dla różnych długości treningu odpowiednio dla danych z eksperymentu A i B.



Rysunek 4.2: Dane pochodzą... z eksperymentu A – 4 wybrane kanały kontralateralnej kory wzrokowej (CxC). Kolorami zaznaczono uśrednione po realizacjach potencjały wywołane przed treningiem wzrokowym, po jednej, dwóch i trzech godzinach.

Na wykresach widoczne jest zwiększanie się amplitudy odpowiedzi na bodziec wraz z długością... treningu wzrokowego.

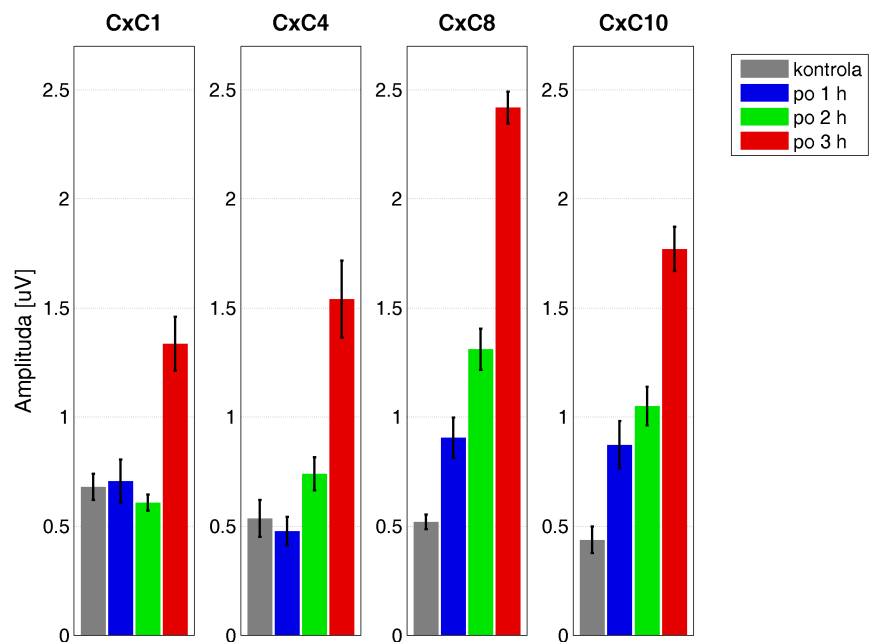


Rysunek 4.3: Dane pochodzą... z eksperymentu B – 4 wybrane kanały kontralateralnej kory wzrokowej (Cx). Kolorami zaznaczono uśrednione potencjały wywołane przed treningiem wzrokowym, po jednej, dwóch i trzech godzinach.

Aby sprawdzić, czy zwiększenie jest rzeczywiście istotne, przeprowadzono analizę statystyczną... Dla obu zestawów danych test Shapiro-Wilka wykazał, że średnie amplitudy pochodzą... z rozkładu normalnego. Dla każdego kanału i dla każdego czasu treningu, sprawdzono testem T studenta, czy wzrost amplitudy względem kontroli jest istotny statystycznie.

Wyniki testów zamieszczono w Tabeli 4.2 dla eksperymentu A i w Tabeli 4.6 dla eksperymentu B.

Na Rysunkach 4.4 i 4.5 przedstawiono średnie amplitudy dla 4 wybranych kanałów kontralateralnej kory wzrokowej (Cx). W Tabeli 4.1 zamieszczono wartości liczbowe z Rysunku 4.4, a w Tabeli 4.3 – wartości liczbowe z Rysunku 4.5.



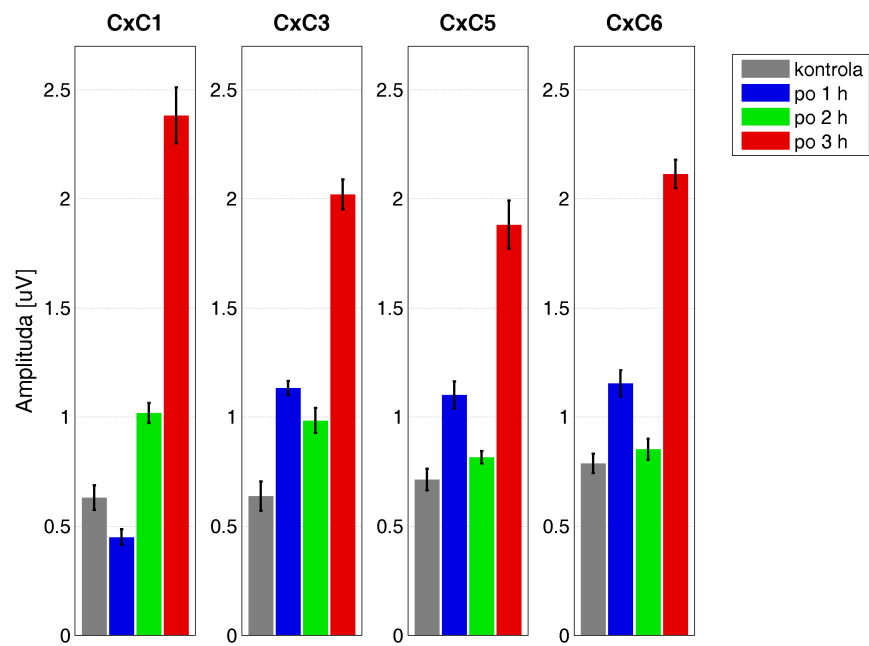
Rysunek 4.4: Eksperyment A: Średnia amplituda i odchylenie standardowe dla różnych długości treningu wzrokowego.

Tabela 4.1: Średnia amplituda i odchylenie standardowe.

czas	CxC1	CxC4	CxC8	CxC10
kontrola	0,68 ± 0,02	0,54 ± 0,04	0,52 ± 0,01	0,44 ± 0,02
po 1 h	0,71 ± 0,05	0,48 ± 0,02	0,91 ± 0,04	0,87 ± 0,06
po 2 h	0,61 ± 0,01	0,74 ± 0,03	1,31 ± 0,04	1,05 ± 0,04
po 3 h	1,34 ± 0,08	1,54 ± 0,16	2,42 ± 0,03	1,77 ± 0,05

Tabela 4.2: Wartości testu T studenta dla danych z eksperymentu A.

	CxC1	CxC4	CxC8	CxC10
kontrola vs po 1 h	0,394	0,180	0,002	0,002
kontrola vs po 2 h	0,093	0,002	0,002	0,002
kontrola vs po 3 h	0,002	0,002	0,002	0,002



Rysunek 4.5: Eksperyment B: Średnia amplituda i odchylenie standardowe dla kolejnych czasów.

Tabela 4.3: Średnia amplituda i odchylenie standardowe.

czas	CxC1	CxC3	CxC5	CxC6
kontrola	0,63 ± 0,02	0,64 ± 0,02	0,71 ± 0,01	0,79 ± 0,01
po 1 h	0,45 ± 0,01	1,13 ± 0,01	1,10 ± 0,02	1,15 ± 0,02
po 2 h	1,02 ± 0,01	0,98 ± 0,02	0,82 ± 0,01	0,85 ± 0,01
po 3 h	2,38 ± 0,08	2,02 ± 0,02	1,88 ± 0,06	2,11 ± 0,02

Tabela 4.4: Wartości testu T studenta dla danych z eksperymentu B.

	CxC1	CxC3	CxC5	CxC6
kontrola vs po 1 h	0,002	0,002	0,002	0,002
kontrola vs po 2 h	0,002	0,002	0,002	0,026
kontrola vs po 3 h	0,002	0,002	0,002	0,002

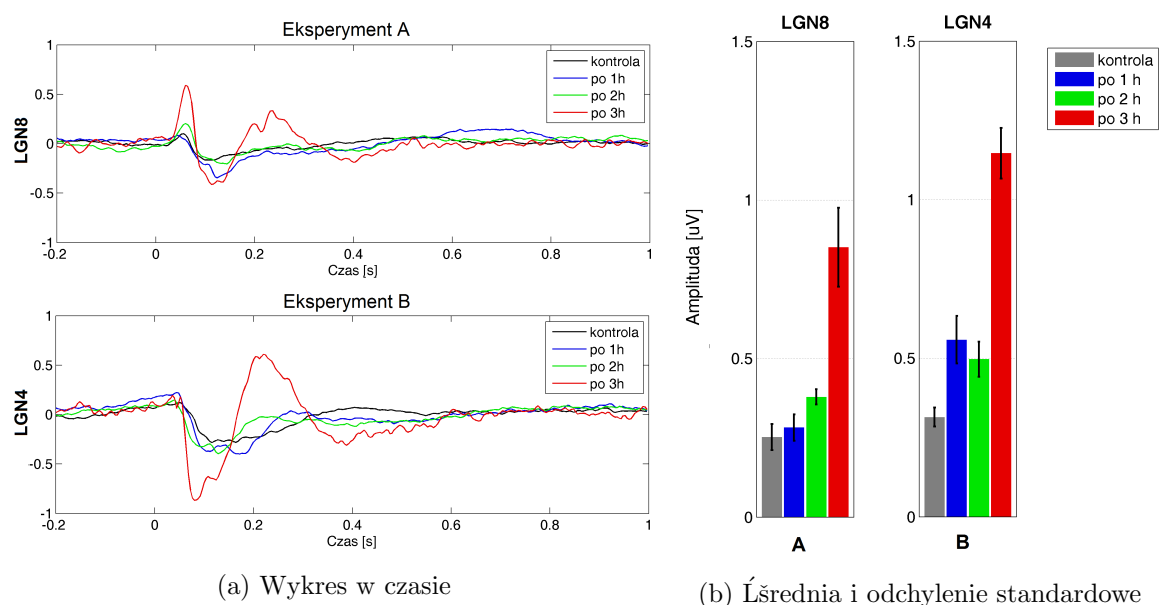
Na podstawie tych wyników można stwierdzić, że wzrost amplitudy wraz z długością... treningu wzrokowego jest istotny statystycznie. Nie da sięTM jednak jednoznacznie określić, że stymulacja elektryczna w eksperymencie B przyczyniła sięTM do zwiększenia amplitudy miTMędzy kontrolą... a kolejnymi rejestracjami.

4.1.2. Porównanie uśrednionych potencjałów z LGN

W przypadku jądra kolankowatego bocznego (LGN) dla obu eksperymentów wybrano kanał, który charakteryzował sięTM najwyższą... amplitudą... (Rysunek 4.6).

Tabela 4.5: Średnia amplituda i odchylenie standardowe.

czas	A: CxC8	B: CxC4
kontrola	0,26 ± 0,01	0,31 ± 0,01
po 1 h	0,29 ± 0,02	0,56 ± 0,03
po 2 h	0,37 ± 0,01	0,50 ± 0,02
po 3 h	0,89 ± 0,01	1,15 ± 0,03



Rysunek 4.6: Porównanie uśrednionych potencjałów z LGN.

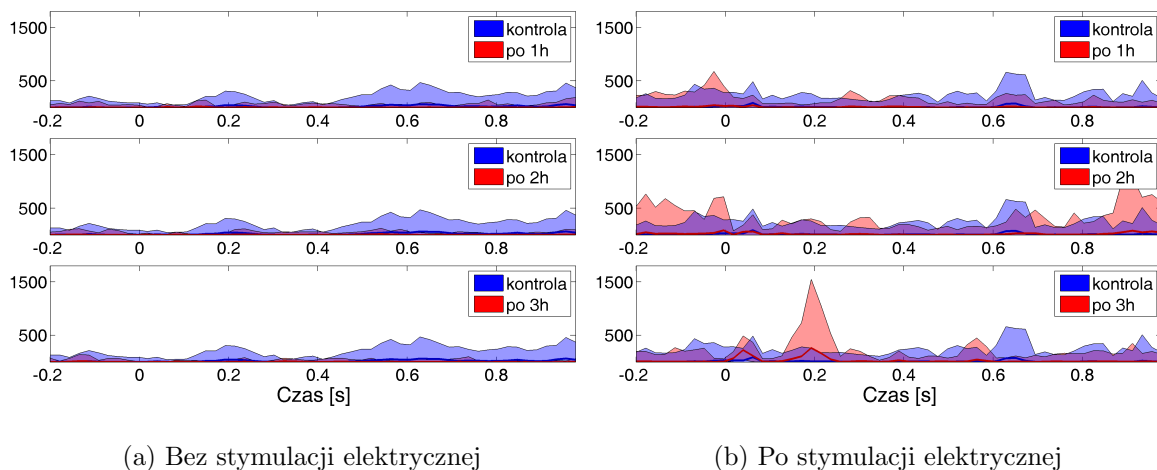
Tabela 4.6: Wartości testu T studenta.

	A: CxC8	B: CxC4
kontrola vs po 1 h	0,310	0,002
kontrola vs po 2 h	0,002	0,002
kontrola vs po 3 h	0,002	0,002

4.2. Połączenia funkcjonalne

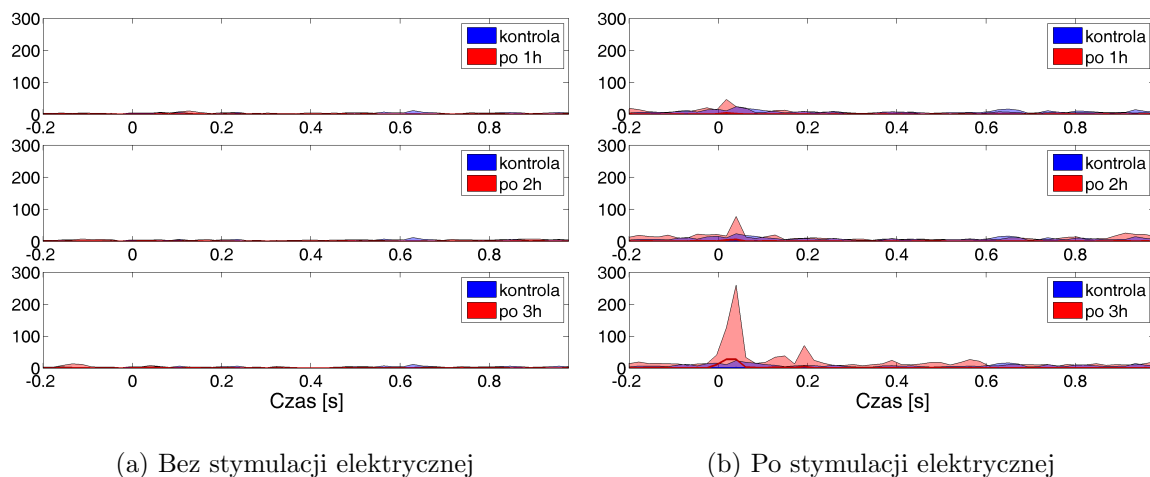
4.2.1. Połączenia z CxC do LGN

Na Rysunkach 4.7, 4.8 i 4.9 przedstawiono wartości funkcji NDTF dla kolejnych zakresów częstotliwości. Dla częstotliwości 1-10 Hz dla danych z eksperymentu A (Rysunek 4.7a) wartość funkcji NDTF w przedziale od 0 do 0,2 s jest bliska zeru. Natomiast dla danych z eksperymentu B (Rysunek 4.7b) występuje nieznaczny pik zaraz po podaniu bodźca (czas 0-0,1 s) oraz wysoki pik około 0,2 s po 3 godzinach treningu wzrokowego.

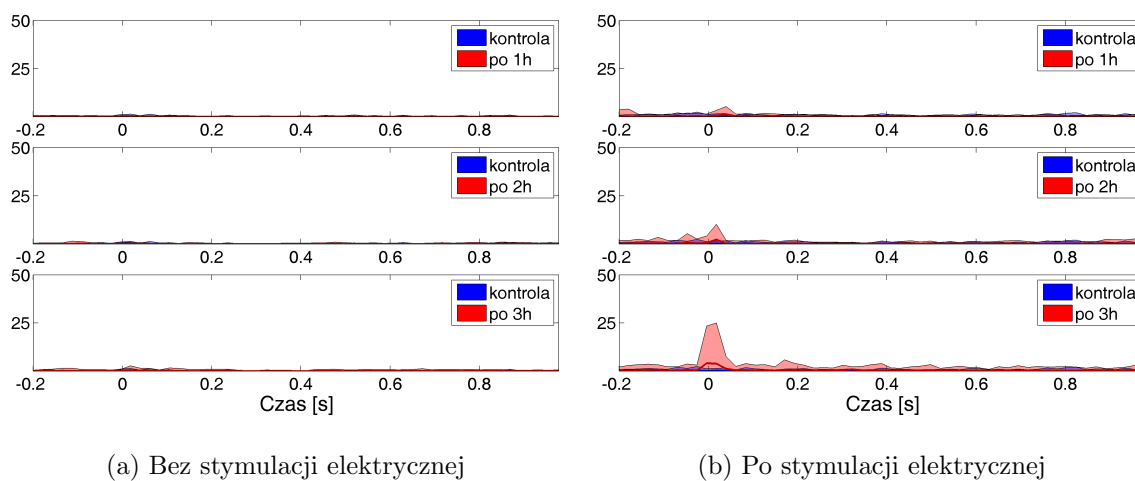


Rysunek 4.7: Porównanie danych z różnych eksperymentów w paśmie 1-10 Hz.

Podobne obserwacje można poczynić dla zakresu częstotliwości 10-30 Hz i 20-40 Hz. W obu przypadkach, dla danych z eksperymentu A (Rysunki 4.8a i 4.9a) wartość funkcji NDTF jest niewiele większa od zera, natomiast po stymulacji elektrycznej (Rysunki 4.8b i 4.9b) widoczne są wyraźne piki w przedziale 0-0,05 s i w 0,02 s po wystąpieniu bodźca.

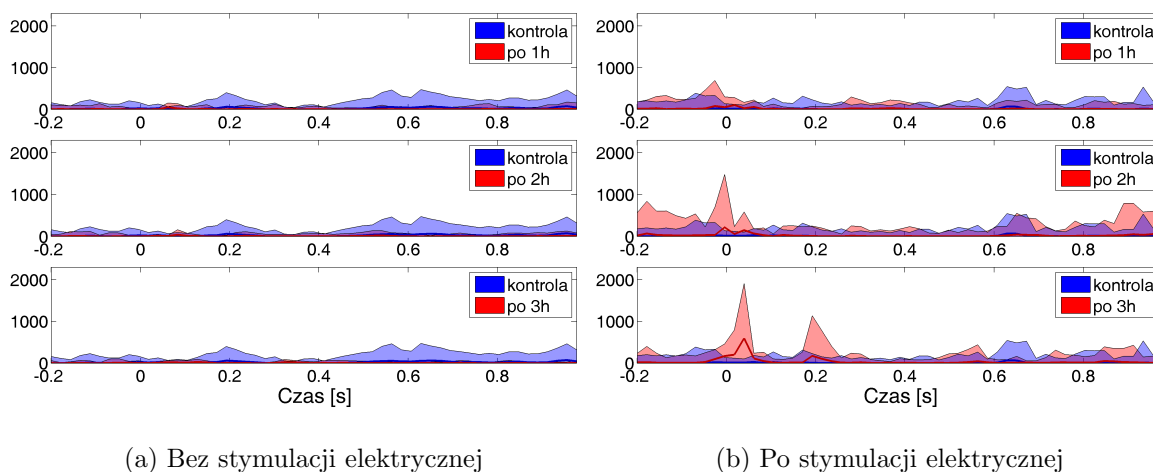


Rysunek 4.8: Porównanie danych z różnych eksperymentów w paśmie 10-30 Hz.

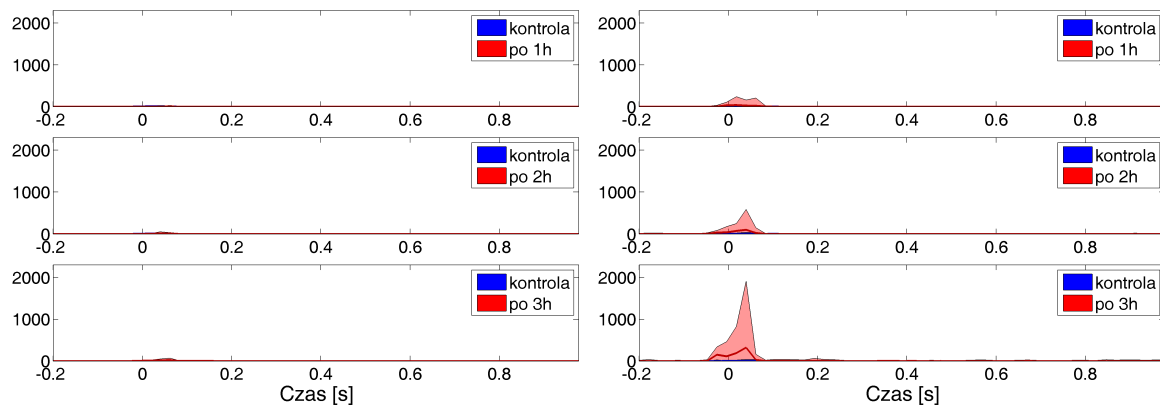


Rysunek 4.9: Porównanie danych z różnych eksperymentów w paśmie 20-40 Hz.

4.2.2. Porównanie danych z różnych eksperymentów w paśmie 1-10 Hz



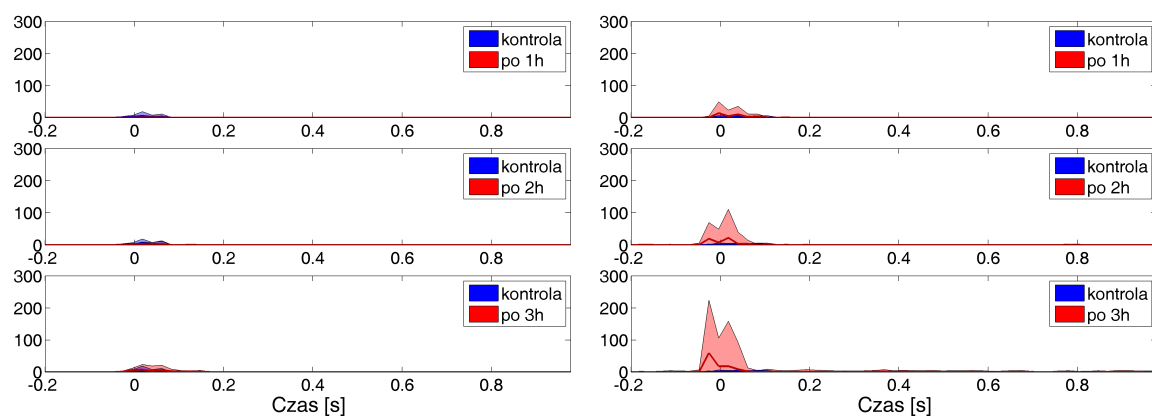
Rysunek 4.10: Porównanie danych z różnych eksperymentów w paśmie 1-10 Hz.



(a) Bez stymulacji elektrycznej

(b) Po stymulacji elektrycznej

Rysunek 4.11: Porównanie danych z różnych eksperymentów w paśmie 10-30 Hz.

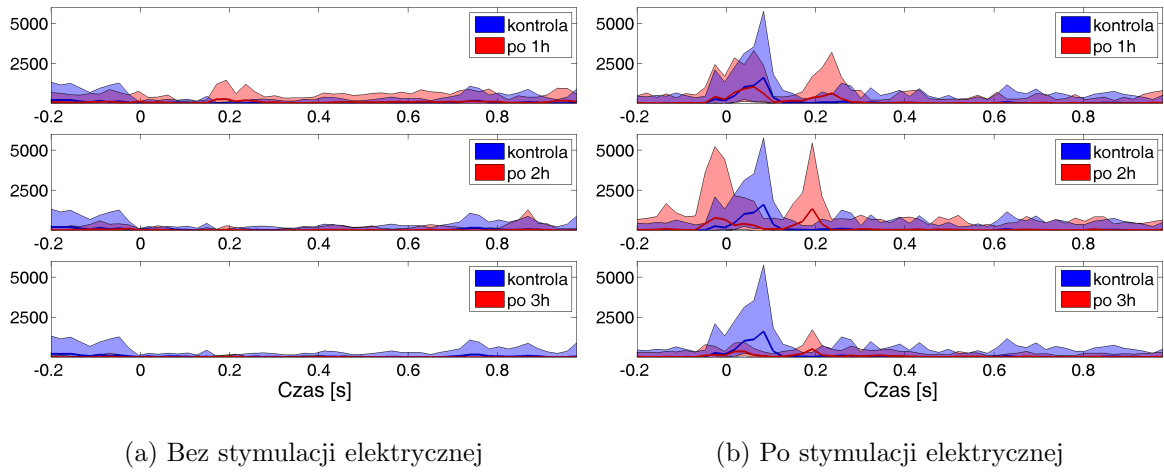


(a) Bez stymulacji elektrycznej

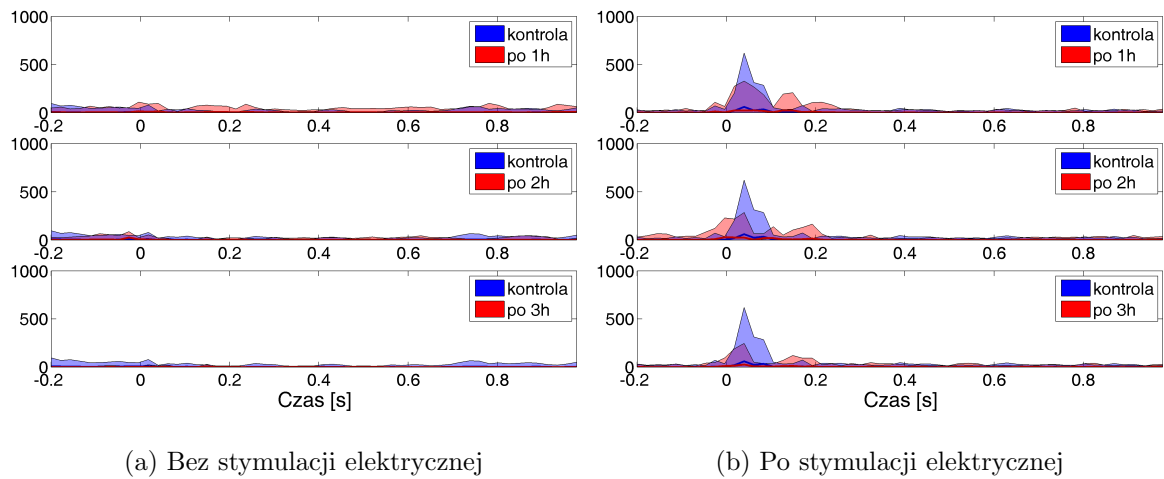
(b) Po stymulacji elektrycznej

Rysunek 4.12: Porównanie danych z różnych eksperymentów w paśmie 20-40 Hz.

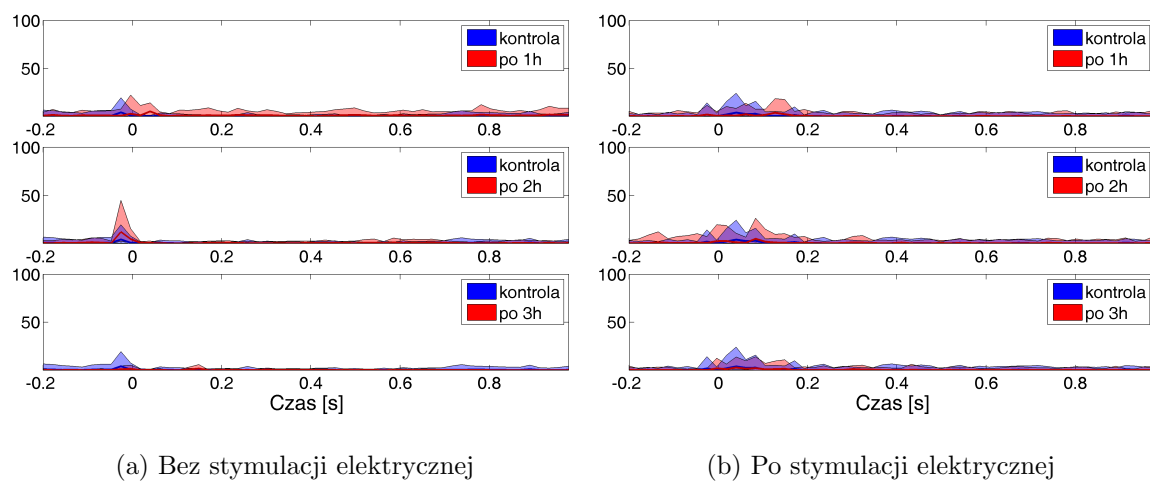
4.2.3. PoŁÄ...czenia z SC do CxC



Rysunek 4.13: Porównanie danych z różnych eksperymentów w pałmie 1-10 Hz.



Rysunek 4.14: Porównanie danych z różnych eksperymentów w pałmie 10-30 Hz.



Rysunek 4.15: Porównanie danych z różnych eksperymentów w paśmie 20-40 Hz.

Rozdział 5

Dyskusja

Odniesienie do biologii poŁÄ...czeŁ,,. Ewentualne błÄ™dy i sugestie co moŁŁna poprawiÄ†.

Bibliografia

- Blinowska, K. J., Żygierewicz, J., 2012. Practical Biomedical Signal Analysis Using MATLAB. CRC Press.
- Hager, A. M., Dringenberg, H. C., Aug 2010. Training-induced plasticity in the visual cortex of adult rats following visual discrimination learning. *Learn. Mem.* 17 (8), 394–401.
- Hannula, D. E., Simons, D. J., Cohen, N. J., Mar 2005. Imaging implicit perception: promise and pitfalls. *Nat. Rev. Neurosci.* 6 (3), 247–255.
- Maier, A., Adams, G. K., Aura, C., Leopold, D. A., 2010. Distinct superficial and deep laminar domains of activity in the visual cortex during rest and stimulation. *Front Syst Neurosci* 4.
- Schomer, D. L., Lopes da Silva, F., 2010. Niedermeyer’s Electroencephalography: Basic Principles, Clinical Applications, and Related Fields, 6th Edition. Lippincott Williams & Wilkins.
- Schulz, R., Gerloff, C., Hummel, F. C., Jan 2013. Non-invasive brain stimulation in neurological diseases. *Neuropharmacology* 64, 579–587.
- Stitt, I., Galindo-Leon, E., Pieper, F., Engler, G., Engel, A. K., Sep 2013. Laminar profile of visual response properties in ferret superior colliculus. *J. Neurophysiol.* 110 (6), 1333–1345.
- Versace, M., Ames, H., Leveille, J., Fortenberry, B., Gorchetchnikov, A., 2008. KInNeSS: a modular framework for computational neuroscience. *Neuroinformatics* 6 (4), 291–309.
- Waleszczyk, W. J., Wang, C., Benedek, G., Burke, W., Dreher, B., 2004. Motion sensitivity in cat’s superior colliculus: contribution of different visual processing channels to response properties of collicular neurons. *Acta Neurobiol Exp (Wars)* 64 (2), 209–228.